

## 7-Relaxation

در گرایس NMR تا دل هر این سیستم اسیدی رسیده را در فرکانس اعمال شد در فرکانس  
رزونانس معکوس هر ثرد این کار:

- بسته‌ها جمیت را تغییر می‌دهند

- سرچب نظر شدن سرلنز مایع عوادی ( $Mg$  و  $Mn$ )  
سیلان سناتریل هرگز

در اثر آسائی سیستم در بازه به حالت تا دل ادلر برخورد

• آسائی را می‌بینیم اعمال شده:  $T_1$

spin-lattice  
or

longitudinal relaxation time

• آسائی را می‌بینیم اعمال شده:  $T_2$

spin-spin  
or

transverse relaxation time

برخلاف حالات برآمده اگر دنیا را در موضع  
کاملاً سیستم هسته ای بسازیم از

به وضیع در ساده‌تر که آن را هسته ای (I) برابر  $\frac{1}{2}$  است.

برای برآمدگی در شرایط  $T_1$ ، زمانی  $T_1$  برای  $^{13}\text{C}$  برآمدگی در شرایط انتشار نیست آنرا زیارت تابعی بر مکاری دارد

- تابعی  $T_1$  برای برآمدگی در اتفاق اتفاقات اندمازه کسری از

- طبق  $^1\text{H}$  NMR می‌باشد

- در برای هسته  $^{13}\text{C}$  برآمدگی ممکن با  $^1\text{H}$  در جو دارد

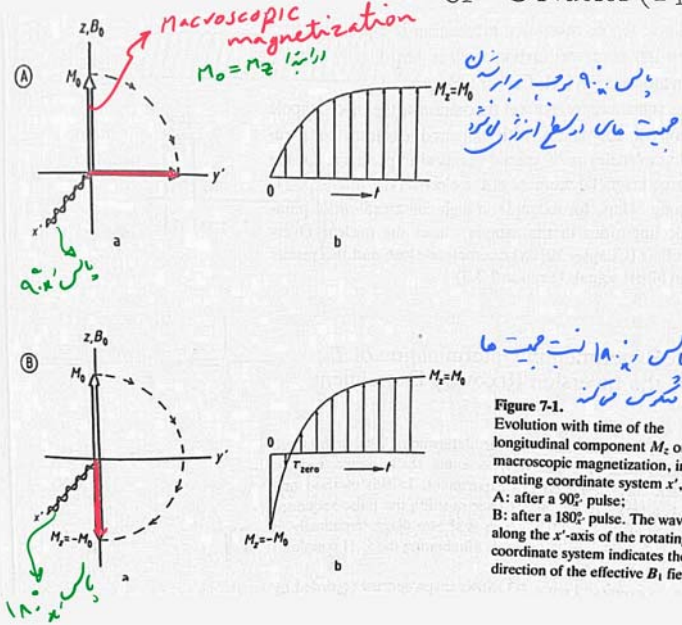
- تابعی  $T_1$  از خنثیت می‌باشد برای برآمدگی نیاز ندارد تا خنثیت می‌باشد در برای هسته  $^{13}\text{C}$  برآمدگی کافیست

- به خاطر این تابعیت زیاد،  $T_1$  برای هسته  $^{13}\text{C}$  بسیار کم و این

خنثی اتفاقی برای احتیاط است.

## 7.2 Spin-Lattice Relaxation of $^{13}\text{C}$ Nuclei ( $T_1$ )

*Felix Bloch*



**Figure 7-1.**  
Evolution with time of the longitudinal component  $M_z$  of the macroscopic magnetization, in the rotating coordinate system  $x'$ ,  $y'$ ,  $z$ .  
A: after a  $90^\circ$  pulse;  
B: after a  $180^\circ$  pulse. The wavy line along the  $x'$ -axis of the rotating coordinate system indicates the direction of the effective  $B_1$  field.

$$\frac{dM_z}{dt} = -\frac{M_z - M_0}{T_1}$$

$T_1^{-1}$  = rate constant  
of the  
relaxation  
first-order process

آنچه این نتیجہ علاوه بر این سیستم این همچنان زیرا از این حسب شدند باشند

همچنان دوباره این داده شد

این از این پیش می‌گیرد lattice نمایه شد منطبق شد در تئوری از این گونه ای از این اثراست

در اینجا بگوییم این مرتبه این رسمیت این از این دسته دیگر نظر نداشت

تاثرات تراز دو ریزولوشن را باز اسپین نیکل  $^{13}\text{C}$  روشنانه شاند  
• dipole-dipole (DD) or simply "dipolar" relaxation

- spin-rotation (SR) relaxation
- relaxation due to chemical shift anisotropy (CSA)
- relaxation due to scalar coupling (SC)
- electric quadrupolar (EQ) relaxation
- relaxation due to interactions with unpaired electrons in paramagnetic compounds.

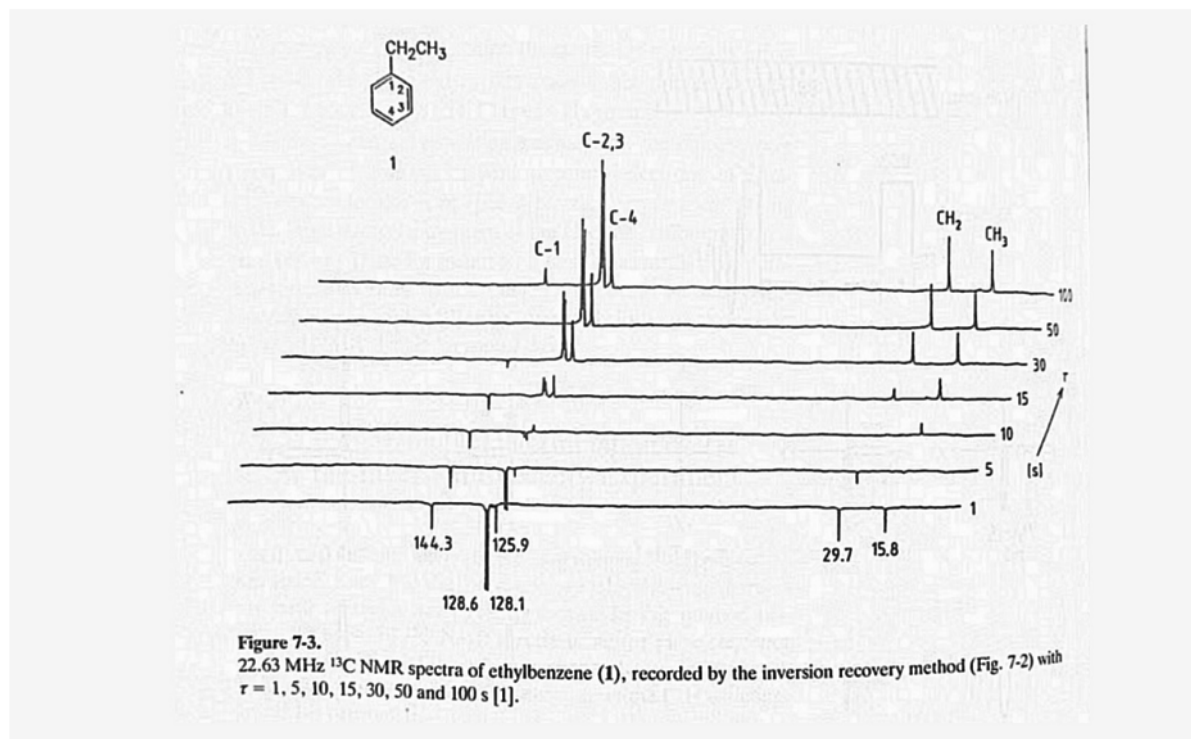
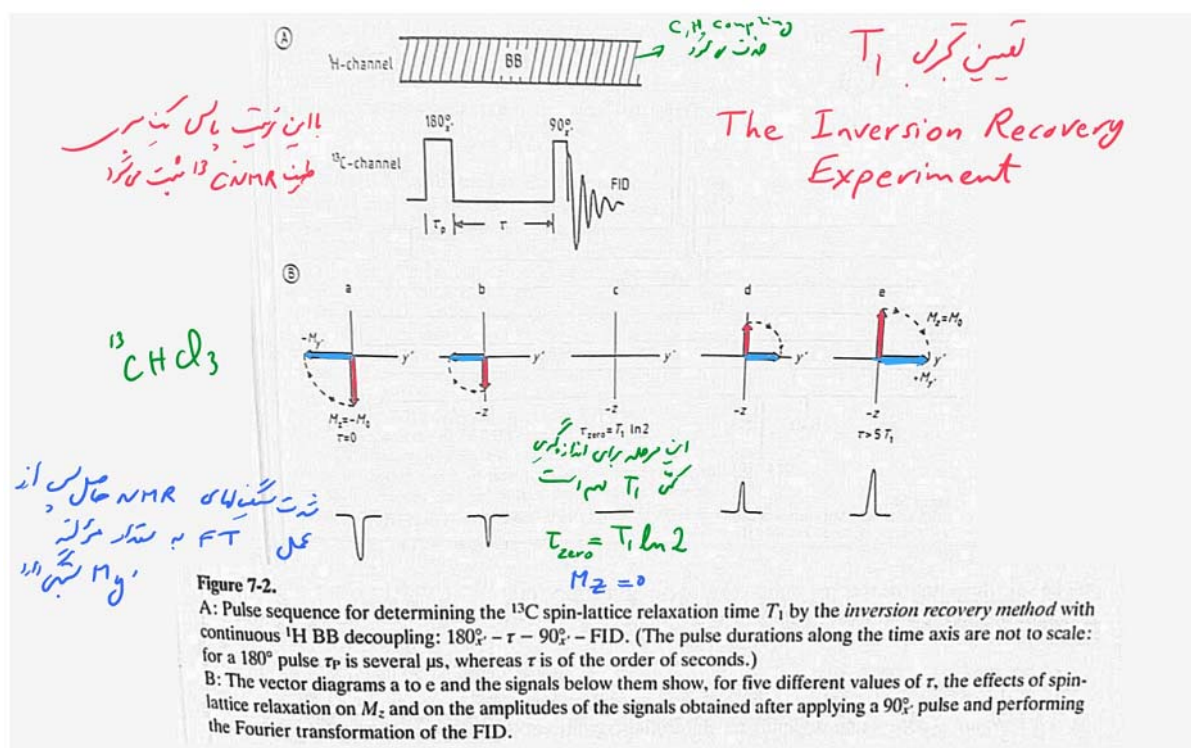
$$\tau_1^{-1} \propto \tau_c$$

The faster a molecule moves

The greater is  $\tau_1$

$$\tau_c = \text{correlation time}$$

لایه های مختلف هم با ترتیب مرتبه  
ریزولوشن از پایه به بالا دارند



$$\frac{dM_z}{dt} = -\frac{M_z - M_0}{T_1}$$

*M<sub>0</sub> - M<sub>z</sub> is constant*

$$M_0 - M_z = A e^{-t/T_1} \quad : \text{با انتقال تحریز ساده باشد}$$

*Magnetization in the z-direction at the time t=T*

$$A = 2M_0 \quad \text{برای نتیجه} \quad M_z = -M_0 \quad : \quad t=0$$

$$M_0 - M_z = 2M_0 e^{-t/T_1} \quad : \text{روزی ماده بزرگتر نیست}$$

$$\ln(M_0 - M_z) = \ln 2M_0 - \frac{t}{T_1} \quad : \text{با علاوه از در طرف ساده باشد}$$

در اگر بجزءی از میشود  $t=0$  شدن سیگنال I را کاردم دارم:

$$\ln(I_0 - I_z) = \ln 2I_0 - \frac{t}{T_1} \quad : \text{معادله شدن سیگنال اول اندیشید}$$

$$\ln(I_0 - I_z) = \ln 2I_0 - \frac{t}{T_1} \quad : \text{(7-5)}$$

$t$  بر جای  $\ln(I_0 - I_z)$  است

$T_1 - \frac{1}{T_1}$  خطر است حصل شد که برابر آن

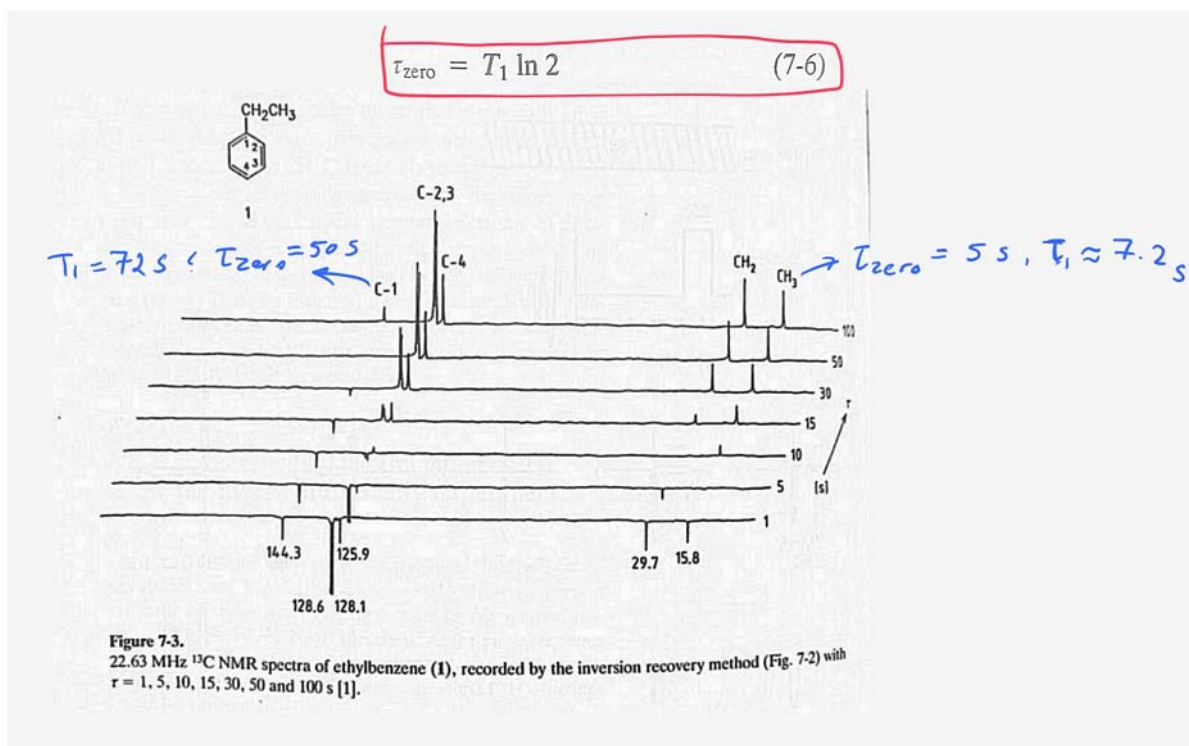
:  $T_{\text{zero}}$  فیزیکی شدن سیگنال

*(zero-crossing point)*

$$T_{\text{zero}} = T_1 \ln 2$$

$^{13}\text{C NMR}$  با این ساده  $T_1$  را از هر سیگنال در خط

برخان نهاده



Complete pulse sequence :

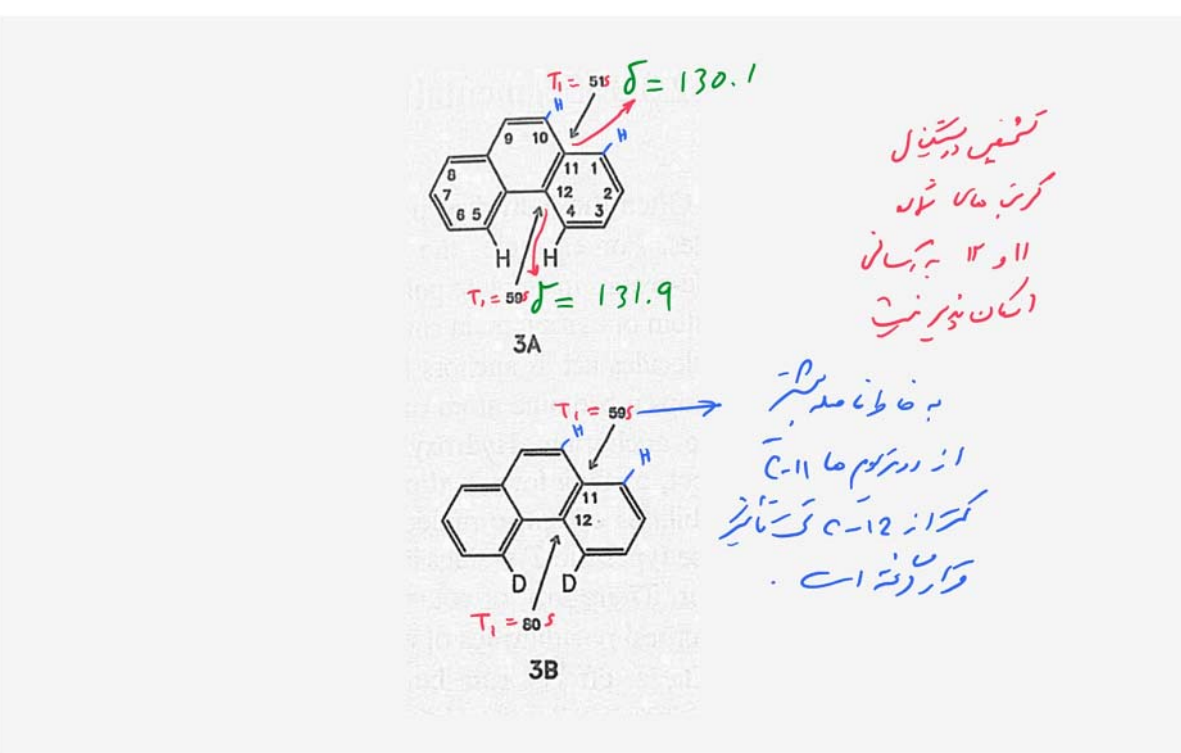
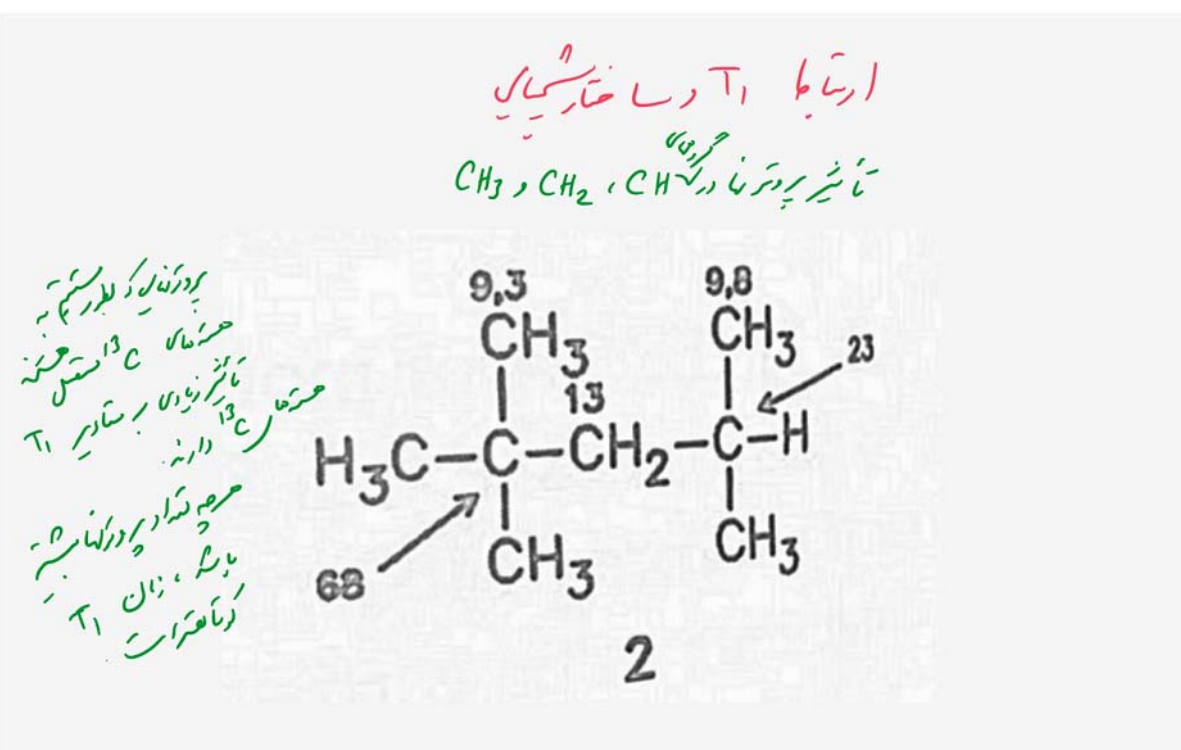
$$(5T_1 - 180^\circ - \tau - 90^\circ - \text{FID})_n$$

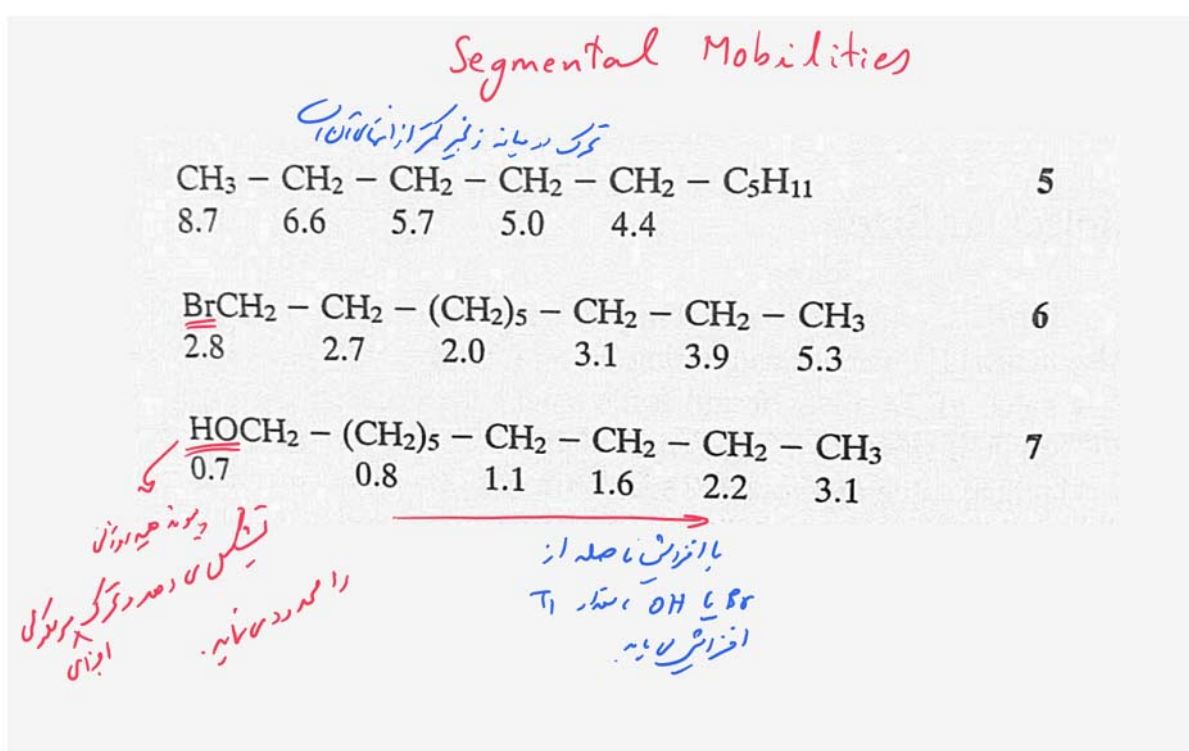
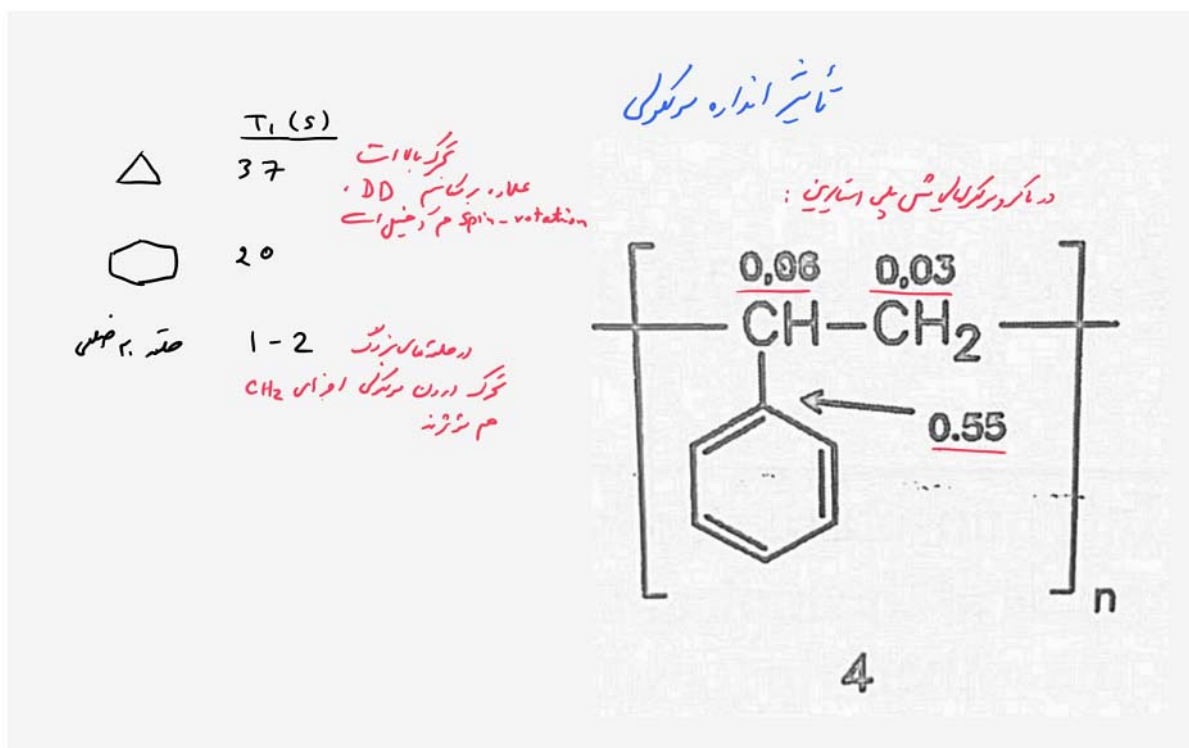
↓

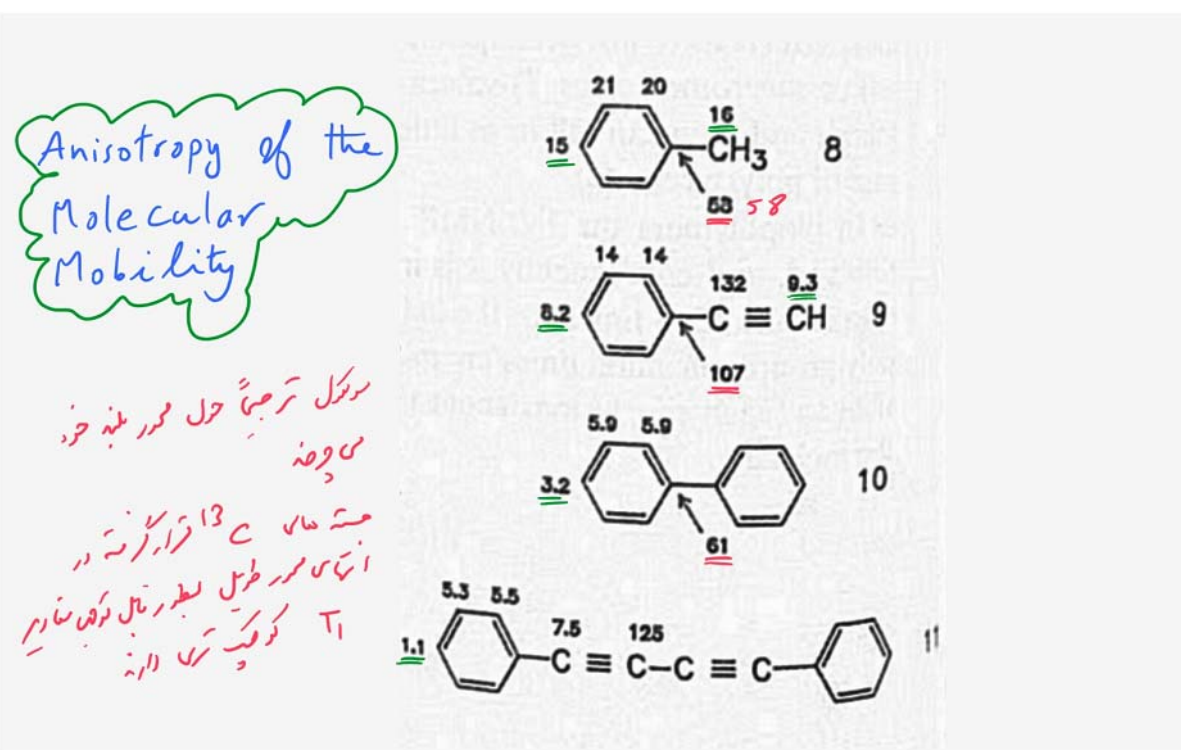
$T_1 = 50 \text{ s}$  پس  
برگزینند  
و قدرتی

$$5 \times 50 = 250 \text{ s} \approx 4-5 \text{ Min}$$

نهان ننم بفرمودن  
درباره سال علی  
بـ تـ بـ







### Suppression of the Water Signal

- ستار  $T_1$  برای آب حدود ۳ ثانیه است و بزرگتر از ستار آن  
بردن پردازه در متکل ای داشت
- نباید اگر طبق  $^1\text{H NMR}$  را با استفاده از ترتیب پالس زیر  
 $(180^\circ - \tau - 90^\circ - \text{FID})_n$
- سبت کنیم (ترتیب پالس اندامنی  $T_1$ )
- جهنم خ ستار  $T$  را بجزی اشباع کنیم که سیگنال آب نماید شد  
در میان مدت پردازه نزدیک اندامنی طبق کمال آسایی یافته و شرط طبق  $^1\text{H NMR}$  افزایش نداشت

## Spin-Spin Relaxation

Bloch equation:

$$\frac{dM_{y'}}{dt} = -\frac{M_{y'}}{T_2}$$

$\downarrow$   
Spin-Spin or

transverse relaxation time

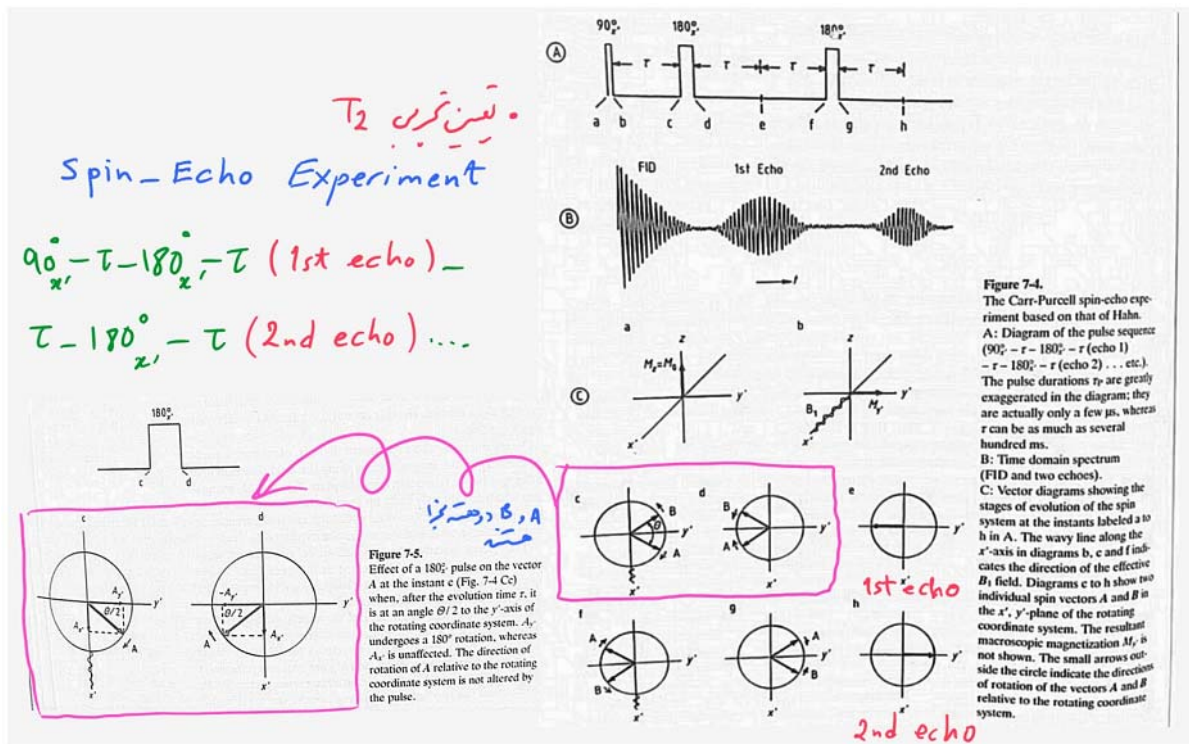
سرعت بازگشت مغناطیسی متریک بعد از  $M_z$  را  $M_{y'}$  را تغییر می‌کند

اهمیت کاربری نمودار  $T_2$  ارتباطی عرض خط (line-width)

ستگنی NMR است.

میتواند بزرگ‌تر از  $T_1$  باشد  $T_2 > T_1$ .

$$T_1 \geq T_2$$



$$\frac{dM_{y'}}{dt} = -\frac{M_{y'}}{T_2}$$

$$M_{y'} = A e^{-t/T_2} \quad (7-8)$$

For  $t = 0$  we have  $A = M_0$ . Taking logarithms of (7-8) gives:

$$\ln M_{y'} = \ln M_0 - \frac{t}{T_2} \quad (7-9)$$

and since  $I$  is proportional to  $M_{y'}$ ,

$$\ln I(t) = \ln I_0 - \frac{t}{T_2} \quad (7-10)$$

$$\ln I(t) = \ln I_0 - \frac{t}{T_2}$$

$\downarrow$   
تعداد آگویر زان  
 $(t=2\tau, 4\tau, \dots)$

بالندز مگر شدت "آرها" یا سُنگی و رسم  $I(t)$  بحسب  $t$   
خط راست بسته آمیخته که سُب آن  $1/T_2$  است

بر دلیل آنکه جنت شدن از  $H_1H_2$  نیز در حلقه  $^{1}H-NMR$  اتفاق ندارد، دلیل طبق ما بر این  
آندازه تبریز  $T_2$  بسیار کمتر و آن

- ۰. هر در فرآیند آرسن - سبک - داپن - آرسن - بروز عرض پیک اثر نگذارد.
- ۱. لمحه اصل عدم قطعیت هائینزگ کرتا شدن طبعاً مترادف با حالت گفتش رجیم بروزگرنده.
- ۲. عدم قطعیت در افزایش آن حالت رخورد.
- ۳. در نتیجه خطرما بین رخورد

$$\delta \in \tau_1 > \frac{1}{2\pi}$$

برای مسأله های  $I = I_1 + I_2$  در میلت داریں و لکچر زیرا، زمانه آرسن  $T_1$  و  $T_2$  تقریباً برابرند  
و به اندازه کافی طلاق زاید  
در نتیجه عرض خطرما بسیار بایستی است  
برای پیده ریانه این عرض خطرما باید بیش از  $2\pi$  از

نمک خطوط رزونانس را برسید تا بج Lorentzian همان نمود

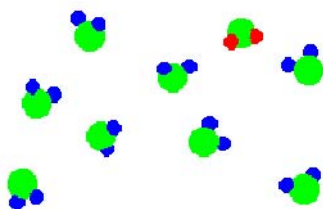
عرض دوستی از  $\Delta V$  بر سر از  $T_2^*$

$$\Delta V_{1/2} = \frac{1}{\pi T_2^*}$$

استدلالی را بد دعوهای مغناطیسی در زیر انتخاب می‌گیریم  
بنابراین  $T_2^*$  را برسی کرد

## Relaxation

$T_1$  relaxation occurs because of the presence of natural magnetic fields in the sample that fluctuate at the Larmor frequency--excess spin energy can flow into the molecular surroundings or lattice



The rate of spontaneous relaxation of nuclear spin orientations is practically zero.

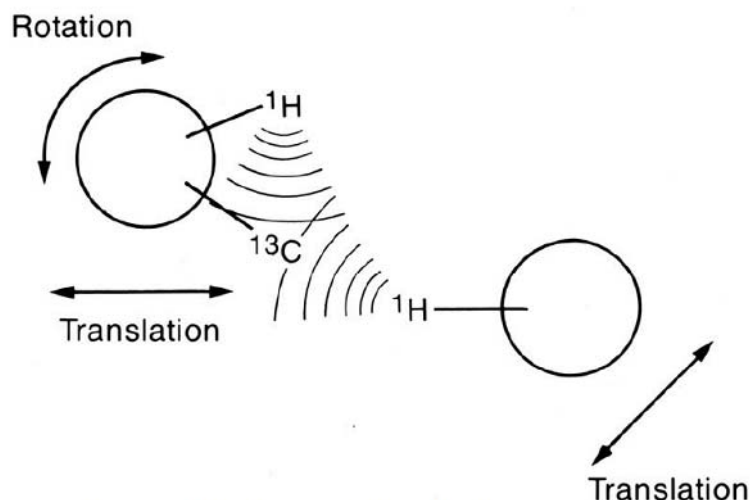
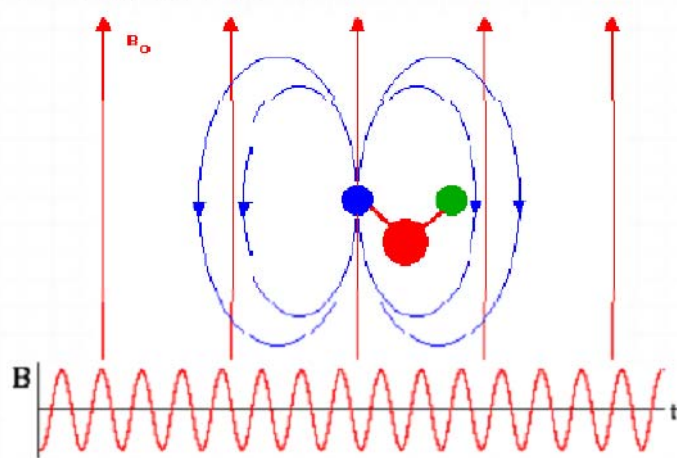
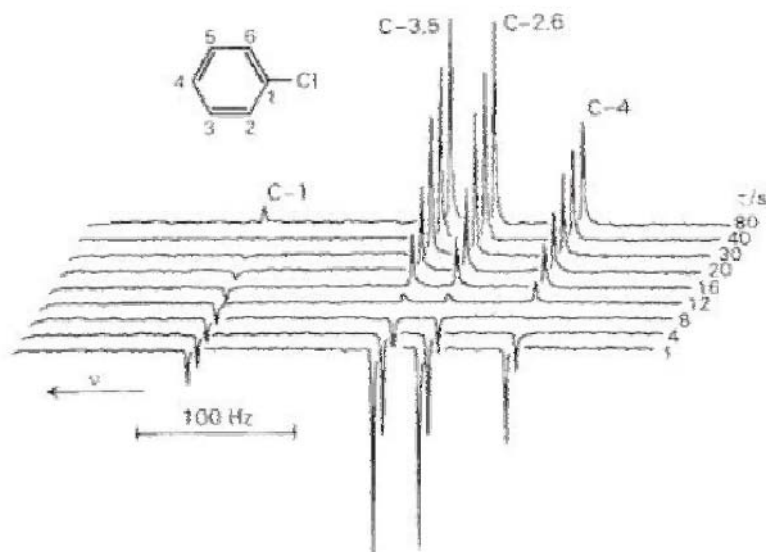


Figure 1.10. Relaxation of  $^{13}\text{C}$ . Magnetic fields produced by the proton magnetic dipoles are felt by the  $^{13}\text{C}$  spin. These local magnetic fields are modulated by random Brownian motions, i.e., ordinary thermal motion. For the proton on the same molecule as the  $^{13}\text{C}$ , random rotational fluctuations of the molecule will cause the local magnetic field experienced by the  $^{13}\text{C}$  to fluctuate, leading to relaxation of the  $^{13}\text{C}$  (*intramolecular relaxation*). Random translational motions of the molecules in solution will cause the  $^{13}\text{C}$  to experience a fluctuating magnetic field emanating from the proton on a neighboring molecule, thus causing *intermolecular relaxation* of the  $^{13}\text{C}$ .

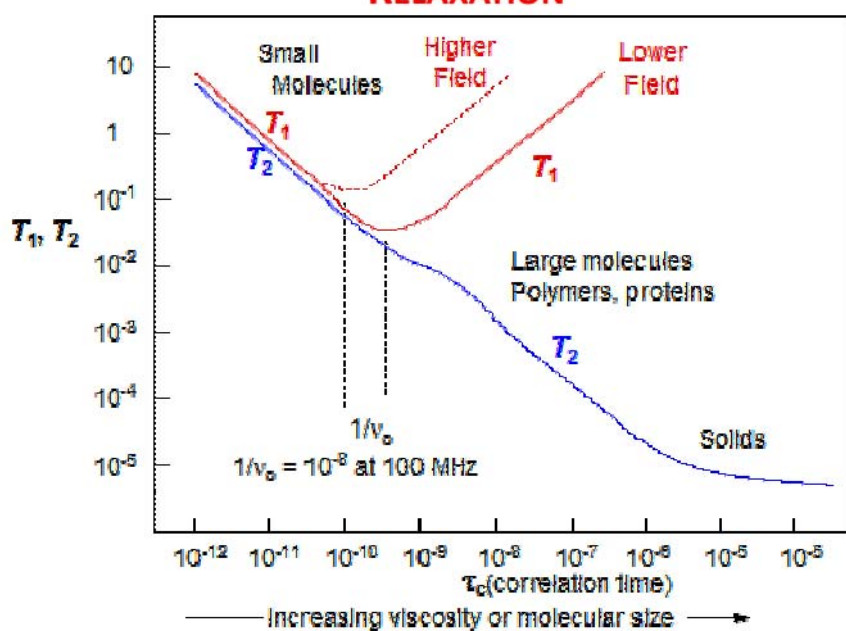
- The major source of these magnetic fields is magnetic nuclei in motion or the process of Dipole-Dipole Relaxation (DD)
- It involves the interaction of the resonating nuclear magnetic dipole with the dipole of the nucleus in motion that causes the fluctuating field of the lattice.



## SPIN-LATTICE RELAXATION



## RELAXATION



**Observation:**

$T_1$  relaxation times are longest for small and very large molecules.

$T_1$  relaxation times are lengthened by higher field instruments, in general.

$T_1$  relaxation minima is shifted towards smaller molecules on higher field instruments.

$\tau_c$  or correlation time is a measure of the rotation and translational rates of molecules in solution.

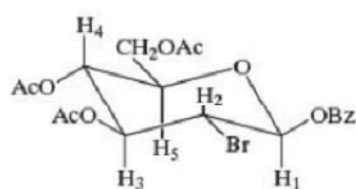
By definition this rate will approach zero in highly viscous systems and solids.

Proton spin– lattice relaxation times depend on the distance between the resonating nucleus and the nearest- neighbor protons.

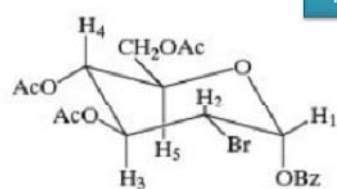
The closer the neighbors are, the faster is the relaxation - shorter  $T_1$ .

The two isomers (anomers) below may be distinguished by their proton relaxation times:

H<sub>1</sub> is axial and close to the 3 and 5 axial protons,  $T_1$  of 2.0 s



H<sub>1</sub> is eq with more distant neighbors:  $T_1$  of 4.1 s.

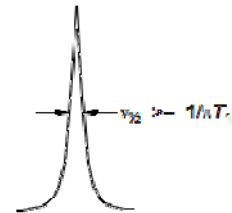


$$\Delta E \cdot \Delta t = \hbar / 2\pi$$

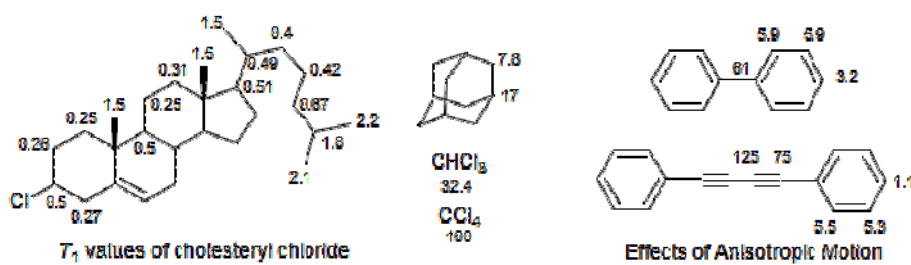
$$\hbar \nu \cdot \delta t = \hbar / 2\pi$$

$$\nu_{1/2} / 2 \approx 1 / 2\pi T_1 \quad (\text{Half-width at half height})$$

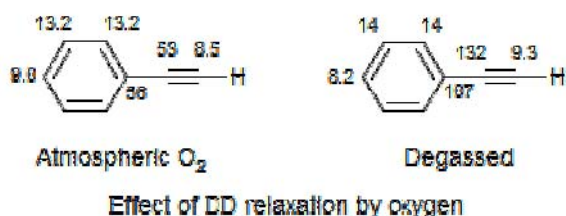
$$\boxed{\nu_{1/2} \approx 1 / \pi T_1} \quad (\text{Width at half height})$$



Broadening due to paramagnetic impurities is a special case of  $T_1$  broadening



**Relaxation by Oxygen.** The unpaired spins on O<sub>2</sub> make it capable of causing proton and carbon relaxation by a dipolar interaction. The effect is not large, but can be easily seen for the quaternary carbons of phenylacetylene - e.g. the ipso carbon T<sub>1</sub> increases from 56 to 107 sec if the dissolved oxygen is removed. This can be done by vacuum techniques, or more simply by bubbling N<sub>2</sub> or argon through the sample for a minute or two. Normally O<sub>2</sub> makes a contribution at the level of T<sub>1</sub> ca 50 to 100 sec. Since most T<sub>1</sub> values are less than 20 sec, O<sub>2</sub> does not normally have much of an effect. Only very long T<sub>1</sub> values (>20 sec) are significantly affected by oxygen.



Effect of DD relaxation by oxygen

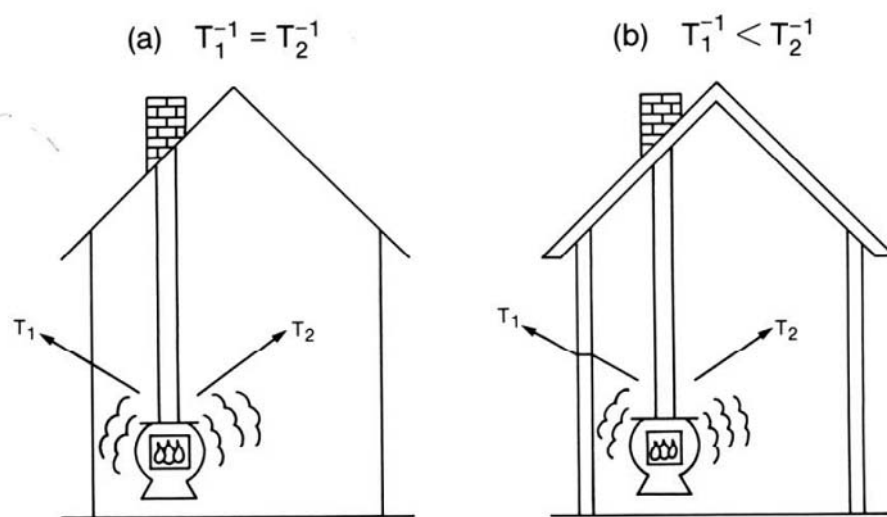


Figure 1.9. Stove-in-a-house analogy to T<sub>1</sub> and T<sub>2</sub> relaxation. In (a), the house is not insulated, so the energy emitted by the stove is lost to the surrounding environment (lattice) as fast as it is dispersed throughout the house. In (b), the house is insulated so that the energy from the stove is not dissipated to the surroundings nearly as fast as it equilibrates in the house.